

تغییرات سیکلی احتراق در یک موتور اشتعال جرقه‌ای با سوخت گاز طبیعی

رحیم ابراهیمی^۱

چکیده

تغییرات سیکلی احتراق یکی از مشخصه‌های برجسته کارکرد موتور اشتعال جرقه‌ای است که مشکلات اساسی برای کنترل موتور ایجاد می‌کند. در این مطالعه، تغییرات سیکلی یاد شده توسط اندازه‌گیری فشار داخل سیلندر برای سوخت گاز طبیعی مورد بررسی قرار گرفت. نتایج نشان داد که شکل منحنی ضربی تغییرات فشار داخل سیلندر بر حسب زاویه میل لنگ مستقل از شرایط آزمایش می‌باشد. بر روی این منحنی، موقعیت سه نقطه قابل توجه است. این سه نقطه برابر با شروع احتراق، انتهای احتراق و ۵۰٪ کسر جرم سوختی است. همچنین نتیجه‌گیری شد که تغییرات سیکلی فشار موثر متوسط نشانگری با افزایش نسبت همارزی در محدوده میزان کم مخلوط کاهش و در محدوده میزان بالای مخلوط افزایش می‌یابد. هنگامیکه نسبت همارزی و زمان جرقه برای حداقل کشتاور تنظیم شده باشد، تغییرات سیکلی دارای حداقل مقدار است. اثر تاخیر جرقه از زمان جرقه‌ی دارای بیشترین گشتاور و مخلوط میزان بالا بر روی تغییرات سیکلی به ترتیب بیشتر از آوانس جرقه از جرقه‌ی دارای بیشترین گشتاور و مخلوط میزان کم است.

کلمات کلیدی : تغییرات سیکلی، موتور اشتعال جرقه‌ای، گاز طبیعی، فشار سیلندر

Cycle to Cycle Combustion Variations in a Spark Ignition Engine Fuelled with Natural Gas

Rahim Ebrahimi

ABSTRACT

Cycle to cycle combustion variability is a prominent characteristic of spark ignition engine that makes the engine very difficult to control. In this study, the combustion pressure fluctuations in a spark ignition engine fueled with natural gas were investigated. The results showed that the shape of coefficient of variation in the cylinder pressure versus crank angle is independent of the experimental conditions. Three points of this curve are important. They correspond to the combustion beginning, combustion end and 50% mass fraction burned. The results also showed that the cycle to cycle variations indicated mean effective pressure decrease as the equivalence ratio increased in the lean mixture region, and increase as the equivalence ratio increased in the rich mixture region. The cylinder pressure cyclic dispersion showed that the combustion stability is optimum for spark timings and equivalence ratio corresponding to maximum torques. The effect of retarding the spark timing from maximum torque timing and rich mixture on cycle to cycle variations are respectively higher than the effect of advancing the spark timing from maximum torque timing and lean mixture.

KEYWORDS : Cyclic variability, Spark ignition engine, Natural gas, Cylinder pressure

تاریخ دریافت مقاله: 1387/7/14

تاریخ اصلاحات مقاله: 1388/4/24

نويisnده مسئول و استاديار، گروه مكانيك ماشينهای كشاورزی، داشتگاه شهركرد: Email: Rahim.Ebrahimi@gmail.com

1- مقدمه

از شمع را افزیش داد. اما باید یادآور شد که این کار باعث کاهش طول عمر شمع می‌شود. 3- تغییرات موجود در مقدار گازهای باقیمانده در داخل سیلندر 4- تغییرات آبودینامیکی مخلوط داخل سیلندر در طول فرایند احتراق 5- تغییر توزیع مقدار سوخت در اطراف شمع 6- تغییر در توزیع سوخت و هوا در داخل سیلندر 7- به علت تغییر در جرم سوخت و هوا ورودی و همچنین گازهای باقیمانده در داخل سیلندر، نسبت همارزی یک سیکل به سیکل دیگر تغییر می‌باید. برای کاهش این تغییرات می‌توان آشفتگی² را در موتور افزایش داد. اما باید یادآور شد که افزایش آشفتگی بازده حجمی موتور را کاهش می‌دهد. این عوامل می‌تواند منجر به این نتیجه‌گیری شود که تغییرات سیکلی در موتور اشتعال جرقه‌ای قابل حذف شدن نمی‌باشد، بلکه فقط می‌توان آنرا به حداقل رساند. این موضوع توسط دی و همکاران [6] مورد بررسی و تایید قرار گرفته است. بر این اساس، یافتن شرایطی که موتور اشتعال جرقه‌ای دارای حداقل تغییرات سیکلی است مورد توجه محققین می‌باشد. میانگین فشار داخل سیلندر برای تعیین شروع و انتهای احتراق در اکثر کارهای تحقیقاتی بر روی موتورهای احتراق داخلی مورد توجه قرار می‌گیرد [1], [2], [8], [13], [17]. اکثر روش‌های مورد استفاده توسط محققین در تعیین شروع و انتهای احتراق در مرجع [19] به طور مختصر توضیح داده شده است. با وجود اختلاف در روش‌های موجود برای تعیین شروع و انتهای احتراق، اما در تمام این روش‌ها از میانگین فشار سیلندر استفاده می‌شود. بنابراین در این روش‌ها، با گرفتن میانگین از فشار داخل سیلندر به طور کلی از پدیده‌ی تغییرات سیکلی چشم پوشی می‌شود. این امر موجب بروز خطا در تعیین شروع و انتهای احتراق می‌گردد. بر این اساس، ارائه‌ی یک روشی که تغییرات سیکلی را نیز در تعیین پارامترهای احتراق در نظر بگیرد ضروری به نظر می‌رسد.

برای بررسی شدت تغییرات سیکلی، از پارامتر ضریب تغییر³ طبق رابطه‌ی شماره (1) استفاده می‌گردد [8].

$$COV_x = \sqrt{\frac{1}{n-1} \sum_{i=1}^n (x_i - \bar{x})^2} \times 100 \quad (1)$$

که در آنجا n برابر تعداد سیکل، x_i داده‌های یک سری از پارامتر سیکل‌ها و \bar{x} میانگین داده‌ها است. x می‌تواند پارامترهای همچون فشار سیلندر و یا فشار موثر متوسط سیلندر باشد.

مارک [13] به بررسی عملکرد، آلودگی و تغییرات سیکلی یک موتور اشتعال جرقه‌ای پرداخت. گازطیبیعی و بنزین سوختهای بودند که برای تحقیق انتخاب شدند. برای سه

بدلیل وجود مشکلات در کارکرد مناسب موتور اشتعال جرقه‌ای تا کنون تحقیقات زیادی بر روی این موتور انجام شده است. هنوز هم مشکل ناپایداری سیکلی بر روی موتورهای امروزی دیده می‌شود. حتی در شرایط ثابت کاری موتور، فرایند احتراق در هر سیکل به طور مشابه سیکل قبلی توسعه نمی‌باید. این امر موجب تغییرات سیکلی در موتور اشتعال جرقه‌ای از زمان ظهور این موتور دیده شده است. این ناپایداری موجب نوسان در توان خروجی و کسر جرم سوختی می‌شود. این امر نتیجه می‌شود که گشتاور موثر متوسط 20٪ کاهش و مصرف مخصوص سوخت 6٪ افزایش را نشان دهد [10]. همچنین، با وجود ناپایداری سیکلی کنترل دقیق بر عملکرد موتور و کوبش ناممکن می‌باشد. بر این اساس، می‌توان نتیجه‌گیری کرد که ناپایداری سیکلی یکی از مشکلات اصلی در موتور اشتعال جرقه‌ای است [15]. بنابراین، برای از بین بردن عامل پیدایش ناپایداری سیکلی در موتور، مطالعه بر روی تغییرات سیکلی از مسائل جدایپذیر توسعه‌ی موتور اشتعال جرقه‌ای می‌باشد. دو روش برای بررسی تغییرات سیکلی مورد استفاده قرار می‌گیرد. در اولین روش، اندازه‌گیری فشار داخل سیلندر برای بررسی تغییرات سیکلی استفاده می‌شود. در هر صورت، روش دوم بیشتر معمول می‌باشد.

دلایل پیدایش تغییر سیکلی در موتور اشتعال جرقه‌ای را می‌توان در 7 مورد خلاصه نمود [9], [11]. 1- به علت تغییر فشار موجود در درگاه ورودی، دبی سوخت و هوا و هر دچار تغییر می‌گردد. این امر موجب تغییر جرم سوخت و هوا موجود در داخل سیلندر می‌شود. براین اساس، فشار و درجه حرارت داخل سیلندر در ابتدای کورس تراکم تغییر می‌نماید. یادآوری می‌شود که تغییر فشار و درجه حرارت در ابتدای کورس تراکم، موجب تغییر فشار و درجه حرارت در زمان جرقه‌زنی شمع می‌گردد. 2- پیش انداختگی مکشی تحت تاثیر تغییرات فشار درگاه ورودی و پیش انداختگی لنگری تحت تاثیر تغییرات سرعت دورانی میل لنگ موتور می‌باشد. این امر موجب تغییرات پیش انداختگی جرقه‌ای¹ می‌گردد. یادآوری می‌شود که سرعت دورانی میل لنگ موتور و همچنین فشار درگاه ورودی موتور از یک سیکل به سیکل دیگر ثابت نمی‌باشد. در هر صورت، برای کاهش تغییرات سیکلی می‌توان انرژی آزاد شده



پیستون در کورس مکش در نقطه‌ی مرگ پایین قرار دارد، فشار مطلق داخل سیلندر بدست آورده شد [16]. تعیین زاویه میلنگ توسط یک زاویه سنج ساخته شده شرکت کیستر به مدل (2613 ب) انجام شد. تغییر زاویه جرقه‌زنی به طور دستی با جابجایی موقعیت کویل انجام می‌گیرد. جزئیات بیشتر تجهیزات آزمایشگاهی در مرجع [13] آورده شده است.

جدول (1): ترکیبات اصلی تشکیل دهنده گاز طبیعی مورد آزمایش

درصد حجمی	فرمول شیمیایی	ترکیب
83/5	CH4	متان
3/6	C2H6	اتان
0/7	C3H8	پروپان
0/2	C4H10	بوتان نرمال
0/1	C5H12	پانتن
10/8	N2	نیتروژن
1/1	CO2	کربن دی‌اکسید

3- نتایج و بحث

3-1- تغییرات سیکلی فشار سیلندر

شکل (2) تغییرات 20 سیکل متوالی فشار را بر حسب حجم سیلندر نشان می‌دهد. دیده می‌شود که تغییرات سیکلی احتراق به روشنی بر روی تغییرات فشار اندازه‌گیری شده از داخل سیلندر نمایان است. بر این اساس، تغییرات سیکلی احتراق به طور مستقیم عملکرد موتور را تحت تاثیر قرار خواهد داد.

شکل (3) ضریب تغییر فشار سیلندر بر حسب زاویه میلنگ را نشان می‌دهد. از این شکل نتیجه می‌شود که مقدار ضریب تغییر فشار سیلندر در کورس مکش با وجود پایین بودن فشار سیلندر، بالا می‌باشد. این امر به علت وجود نویز در فشار اندازه‌گیری است. ضریب تغییرات فشار داخل سیلندر در طول مکش تا زاویه حدود 90 درجه میلنگ تا مقدار 12٪ افزایش پیدا می‌کند و بعد از آن به حداقل مقدار خود که برابر 0/5٪ است کاهش می‌یابد. این کاهش ضریب تغییر به علت افزایش فشار داخل سیلندر می‌باشد. با مقایسه چگونگی تغییرات وارون میانگین و ضریب تغییر فشار سیلندر، دیده می‌شود که چگونگی تغییرات این دو پارامتر در این بازه‌ی زاویه میلنگ یکسان می‌باشد. بعد از شروع احتراق، ضریب تغییر به شدت افزایش یافته تا به حداقل مقدار خود که نزدیک به 11٪ است برسد. بعد از این نقطه، ضریب تغییر بعلت بالا بودن تغییرات سیکلی در فرایند احتراق کاهش می‌یابد تا دوباره به یک نقطه حداقل که برابر 1/4٪ است برسد. بعد از این مرحله، ضریب تغییر فشار سیلندر دوباره شروع به افزایش می‌یابد. با مقایسه چگونگی افزایش تغییرات عکس میانگین و ضریب

موقعیت مختلف دریچه گاز، تغییرات سیکلی فشار بیشینه، فشار موثر متوسط نشانگری⁴ و مدت احتراق مورد ارزیابی قرار گرفته شد. لیتک و همکاران [10] به مطالعه‌ی تغییرات سیکلی فشار بیشینه همراه با موقعیت آن برای سه زمان مختلف جرقه پرداختند. هینز [9] به بررسی تغییرات سیکلی یک موتور استعمال جرقه‌ای با سوخت بنزین در کارکرد بدون بار پرداخت.

در پایان نتیجه گیری شد که تغییر مقدار سوخت، هوا و گازهای باقیمانده در داخل سیلندر تاثیر قابل توجهی بر روی تغییرات سیکلی احتراق دارد. تاثیر تغییر مقدار گازهای باقیمانده بر روی تغییرات سیکلی احتراق بیشتر از تغییر مقدار هوا و سوخت تخمین زده شد. در حالی که، تغییر مقدار سوخت و هوا بر روی تغییرات سیکلی احتراق یکسان بدست آمدند.

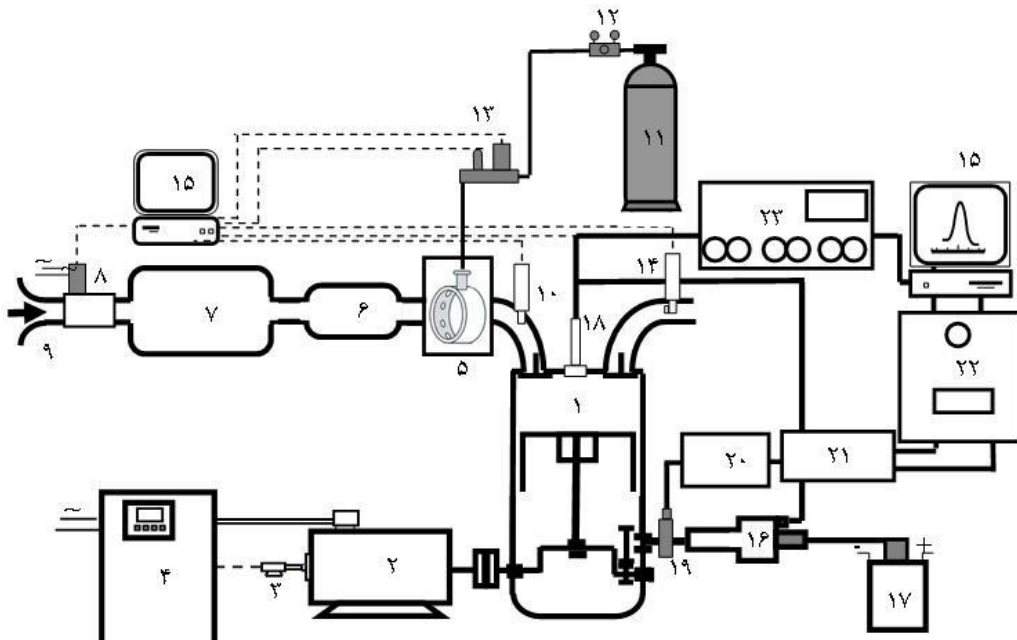
با بررسی کارهای انجام شده، دیده می‌شود که هنوز تغییرات سیکلی به خوبی در موتور استعمال جرقه‌ای بویژه برای سوخت گاز طبیعی گزارش نشده است. بر این اساس در این تحقیق به بررسی تغییرات سیکلی پارامترهای همچون فشار سیلندر، گرمای آزاد شده و فشار موثر متوسط نشانگری پرداخته شده است.

2- تجهیزات آزمایشگاهی

شکل (1) طرحواره‌ی موتور آزمایشی است که قطر سیلندر، کورس پیستون، طول سمبه و نسبت تراکم آن به ترتیب برابر 76/7 میلیمتر، 78 میلیمتر، 124 میلیمتر و 9/6 است. از شکل دیده می‌شود که هوای مکیده شده به داخل سیلندر موتور از داخل دو مخزن برای کاهش آشفتگی و از یک دبی متر خطی برای اندازه‌گیری مقدار هوای ورودی عبور داده می‌شود. در مسیر عبور جریان هوا، سوخت گاز طبیعی توسط یک مخلوط کننده با هوا ترکیب می‌گردد. مخلوط کننده سوخت‌هوا، یک استوانه‌ی تو خالی بوده که در داخل آن سوراخهای به قطر یک میلیمتر وجود دارد. از یک دبی متر و کنترل کننده گاز طبیعی، مقدار سوخت مخلوط شده با هوا کنترل و اندازه‌گیری می‌شود. جدول (1) مشخصات سوخت گاز طبیعی استفاده شده را نشان می‌دهد. نسبت همارزی علاوه بر اینکه با داشتن دبی سوخت و هوا قابل تخمین می‌باشد، از یک حسگر اکسیژن نیز برای بدست آوردن آن استفاده شده است. یک پیزوالکتریک ساخته شده‌ی شرکت کیستر⁵ به مدل 7061 ب) برای اندازه‌گیری فشار داخل سیلندر انتخاب شد. نظر به اینکه فشار سنج پیزوالکتریک مقدار فشار نسبی داخل سیلندر را نشان می‌دهد، فشار درگاه ورودی توسط یک فشار سنج مطلق اندازه‌گیری شد. با مساوی قرار دادن فشار داخل سیلندر با فشار درگاه ورودی هنگامیکه

یکسان می‌باشد.

تغییر فشار سیلندر بعد از باز شدن سوپاپ خروجی، دیده می‌شود که چگونگی تغییرات این دو پارامتر در این بازه نیز



شکل (1): طرحواره‌ی موتور

۱-موتور ۲-دینامومتر ۳-دوررسنج ۴-کنترلر دینامومتر ۵-خلوط کننده سوخت-ها ۶-اولین مخزن میرایی آشفتگی هوا ورودی ۷-دومین مخزن میرایی آشفتگی هوا ورودی ۸-دی متر خطی هوا ۹-همگرا کننده جریان ورودی ۱۰-فشار سنج ۱۱-مخزن کاز طبیعی ۱۲-سوپاپ تنظیم کننده فشار ۱۳-دی متر و کنترل کننده دبی سوخت وروردی ۱۴-سنسور اکسیژن ۱۵-کامپیوتر ۱۶-دلوک ۱۷-کویل ۱۸-شماع و فشار سنج پیزوکالتریک ۱۹-زاویه سنج ۲۰-تنظیم کننده سیگنال ۲۱- تقسیم کننده جریان ۲۲-دستگاه ثبت داده‌ها ۲۳-تقویت کننده

[11]. در حالی که انتهای احتراق برابر نقطه بدست آمده از بهم رسیدن محور افقی با خط مماسی است که در سمت چپ منحنی رسم شده است. خط مماس دارای بیشینه شیب می‌باشد [7]. [18]. موقعیت شروع و انتهای احتراق بدست آمده از منحنی نرخ گرمای آزاد شده با موقعیت دو نقطه کمینه موجود بر روی منحنی ضریب تغییر فشار سیلندر مقایسه می‌شود. این مقایسه نشان می‌دهد که نقطه کمینه اول منحنی ضریب تغییرات فشار سیلندر برابر شروع احتراق و نقطه کمینه دوم منحنی ضریب تغییرات فشار سیلندر برابر انتهای احتراق می‌باشد. حداقل اختلاف بین شروع احتراق با کمینه اول منحنی ضریب تغییر فشار سیلندر و انتهای احتراق با کمینه دوم منحنی ضریب تغییر فشار سیلندر در شرایط کاری مختلف (زمان جرقه بین ۰/۷ تا ۰/۳۱ دو دور میل لنگ بین ۱۰۰۰ تا ۴۰۰۰ دور در دقیقه) دیده شود که شکل منحنی ضریب تغییر فشار داخل سیلندر بر حسب زاویه میل لنگ یکسان باقی می‌ماند. به عبارت دیگر نوع تغییر منحنی ضریب تغییر فشار داخل سیلندر بر حسب زاویه میل لنگ با تغییر نسبت همارزی، زمان جرقه‌زنی و سرعت دورانی موتور ثابت باقی می‌ماند. بر این اساس نتیجه‌گیری می‌شود که چگونگی تغییر منحنی ضریب تغییر فشار داخل سیلندر بر حسب زاویه میل لنگ به شرایط آزمایش بستگی ندارد. در هر صورت، دیده می‌شود که موقعیت پیدایش دو نقطه کمینه و یک نقطه بیشینه بر روی منحنی ضریب تغییر فشار سیلندر بر حسب زاویه میل لنگ به شرایط کاری موتور بستگی ندارد. برای جadasازی دو نقطه حداقل، آنها را به ترتیب پیدایش بر روی منحنی ضریب تغییر فشار سیلندر، نقطه اول و دوم حداقل نامیده می‌شود. برای بررسی این دو نقطه، شروع احتراق و همچنین انتهای احتراق توسط منحنی نرخ گرمای آزاد شده بدست می‌آید (شکل (4)). شروع احتراق برابر ۲۰٪ بیشینه نرخ انرژی آزاد شده از سیلندر در نظر گرفته می‌شود [1].

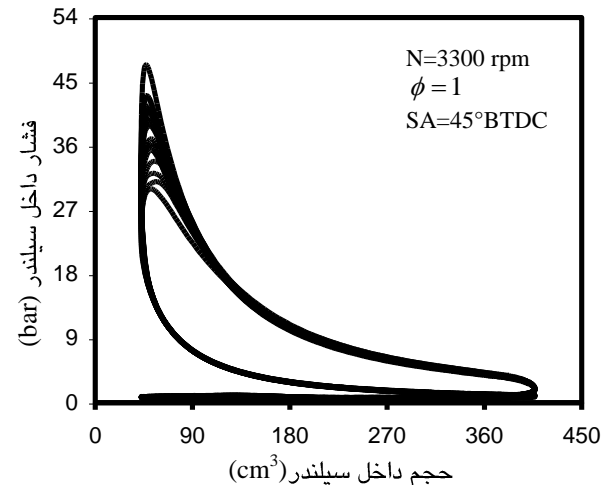
با انجام آزمایش در شرایط کاری مختلف (زمان جرقه بین ۰/۷ تا ۰/۳۱ دو درجه قبل از نقطه مرگ بالا، نسبت همارزی بین ۰/۷ تا ۱/۳ و دور میل لنگ بین ۱۰۰۰ تا ۴۰۰۰ دور در دقیقه) دیده شود که شکل منحنی ضریب تغییر فشار داخل سیلندر بر حسب زاویه میل لنگ یکسان باقی می‌ماند. به عبارت دیگر نوع تغییر منحنی ضریب تغییر فشار داخل سیلندر بر حسب زاویه میل لنگ با تغییر نسبت همارزی، زمان جرقه‌زنی و سرعت دورانی موتور ثابت باقی می‌ماند. بر این اساس نتیجه‌گیری می‌شود که چگونگی تغییر منحنی ضریب تغییر فشار داخل سیلندر بر حسب زاویه میل لنگ به شرایط آزمایش بستگی ندارد. در هر صورت، دیده می‌شود که موقعیت پیدایش دو نقطه کمینه و یک نقطه بیشینه بر روی منحنی ضریب تغییر فشار سیلندر، نقطه اول و دوم حداقل نامیده می‌شود. برای بررسی این دو نقطه، شروع احتراق و همچنین انتهای احتراق توسط منحنی نرخ گرمای آزاد شده بدست می‌آید (شکل (4)). شروع احتراق برابر ۲۰٪ بیشینه نرخ انرژی آزاد شده از سیلندر در نظر گرفته می‌شود [1].



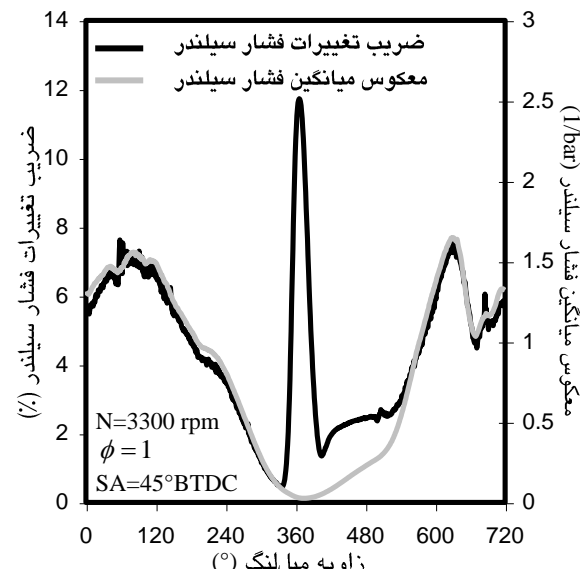
کرد که برای 160 سیکل متواالی حداکثر اختلاف بین فشار بیشینه سیلندر برابر $20/3$ bar و بین موقعیت ظهر فشار بیشینه برابر 11 درجه میل لنگ است. شکل همچنین نشان می دهد که با کاهش فشار بیشینه سیلندر، موقعیت ایجاد آن به تاخیر خواهد افتاد. این نتیجه مشابه نتیجه گزارش شده توسط مرجع [4] است. همچنین مشخص می شود که با تاخیر ظاهر شدن فشار بیشینه، مقدار فشار بیشینه کاهش می یابد. این مسئله به این مورد اشاره می کند که زمانیکه بیشینه فشار دور از نقطه مرگ بالا پیدا شود انبساط حجم سیلندر موجب کاهش فشار و درجه حرارت مخلوط داخل سیلندر شده و این امر باعث می شود که احتراق به طور کامل در داخل سیلندر پیدا نشود. همچنین می توان به این موضوع اشاره کرد که وقتی نقطه بیشینه در نزدیکی نقطه مرگ بالا ظاهر شود فاصله بین شروع احتراق و نقطه بیشینه کوتاه خواهد بود. این کوتاهی زمان احتراق، موجب می شود که احتراق نزدیک به حجم ثابت رخ دهد و این امر باعث خواهد شد که اکسیداسیون زنجیری کربن در فشار و درجه حرارت بالا انجام شود. به این علت یک احتراق با میزان کامل در حجم ثابت رخ می دهد. این احتراق کامل موجب افزایش فشار بیشینه می گردد. در هر صورت با تغییر شرایط کاری که باعث افزایش ضریب تغییر فشار بیشینه می گردد رابطه بین فشار بیشینه با موقعیت پیدایش آن بر حسب زاویه میل لنگ از خطی بودن فاصله بیشتری می گیرد. این امر به علت پیدایش سیکل های با سرعت احتراق پایین می باشد. این نتیجه مشابه نتیجه گزارش شده توسط مرجع [14] است.

جدول (2) ضریب تغییر فشار بیشینه را بر حسب نسبت همارزی برای 40 سیکل متواالی نشان می دهد. از جدول نتیجه گیری می شود که با افزایش نسبت همارزی $\phi = 1$ مقدار ضریب تغییر فشار بیشینه به مقدار حداقل که برابر $8/1$ است کاهش می یابد. با افزایش دوباره نسبت همارزی، ضریب تغییر فشار بیشینه افزایش یافت. بر این اساس، موتور اشتعال جرقه ای در نسبت همارزی $\phi = 1$ برای سوخت گاز طبیعی دارای کمترین ضریب تغییرات فشار بیشینه است. همچنین از این شکل می توان نتیجه گیری کرد که ضریب تغییر فشار بیشینه برای مخلوط کم بار کمتر از ضریب تغییر مخلوط پر بار می باشد. به عبارت دیگر با دور شدن از نسبت همارزی استوکیومتریک، شدت افزایش ضریب تغییر فشار بیشینه سیلندر در مخلوط پر بار بیشتر از مخلوط کم بار می باشد. بر این اساس، موتور اشتعال جرقه ای با سوخت گاز طبیعی در مخلوط کم بار بهتر از مخلوط پر بار کار می کند. در پایان اشاره می گردد که با تغییر شرایط کاری (زمان جرقه بین 25 تا

نرخ گرمای آزاد شده را می توان برابر 50% جرم سوخت سوخته شده در نظر گرفت. حداکثر اختلاف بین بیشینه منحنی ضریب تغییرات فشار داخل سیلندر با بیشینه نرخ گرمای آزاد شده با تکرار آزمایش در شرایط مختلف (زمان جرقه بین 25 تا 60 درجه قبل از نقطه مرگ بالا، نسبت همارزی بین $1/3$ تا $0/7$ و دور میل لنگ بین 1000 تا 4000 دور در دقیقه) برابر $3/5$ درجه میل لنگ بدست آمد.



شکل (2): تغییرات سیکلی فشار سیلندر نسبت به حجم سیلندر برای 20 سیکل متواالی

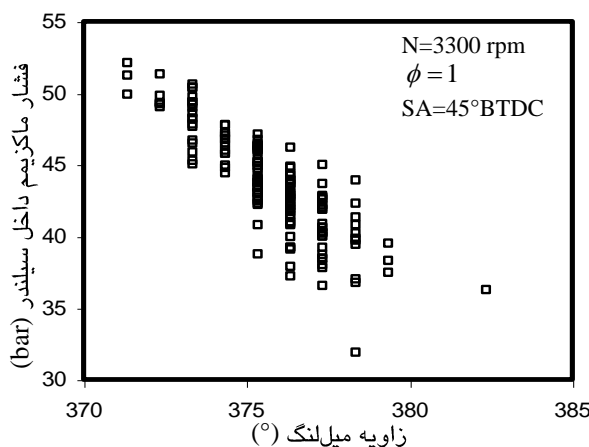


شکل (3): وارون میانگین و ضریب تغییرات فشار سیلندر بر حسب زاویه میل لنگ

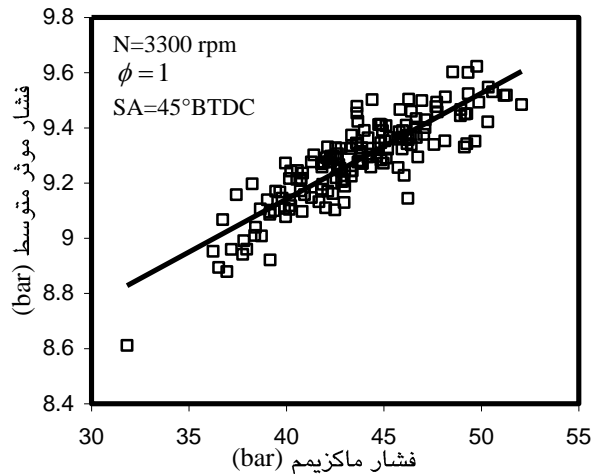
3-2- تغییرات سیکلی فشار بیشینه سیلندر

تغییرات سیکلی فشار بیشینه سیلندر، شدت لحظه ای تغییرات فرایند احتراق را بیان می نماید. شکل (5) فشار بیشینه 160 سیکل متواالی را نسبت به موقعیت بوجود آمدن شان بر حسب زاویه میل لنگ نشان می دهد. از شکل می توان نتیجه گیری

نشانگری افزایش و بعد از آن کاهش می‌یابد. یادآوری می‌شود که مخلوط پر بار برای احتراق کامل نیاز بیشتری به زمان دارد. همچنین اشاره می‌شود که اگر در یک قسمت از محفظه احتراق تمرکز سوخت بیش از میزان مجاز باشد احتراق صورت نمی‌گیرد و این پدیده در نسبت همارزی بالا بیشتر از نسبت همارزی پایین است [3]. این دو مورد باعث احتراق ناقص در نسبت همارزی بالا می‌گردد. احتراق ناقص نیز موجب کاهش فشار موثر متوسط نشانگری می‌شود. در مخلوط کم بار نیز بعلت کاهش ارزش حرارتی جرمی سوخت در داخل سیلندر، فشار موثر متوسط نشانگری کاهش می‌یابد [3].



شکل (5): فشار بیشینه داخل سیلندر بر حسب موقعیت آن برای 160 سیکل متوالی



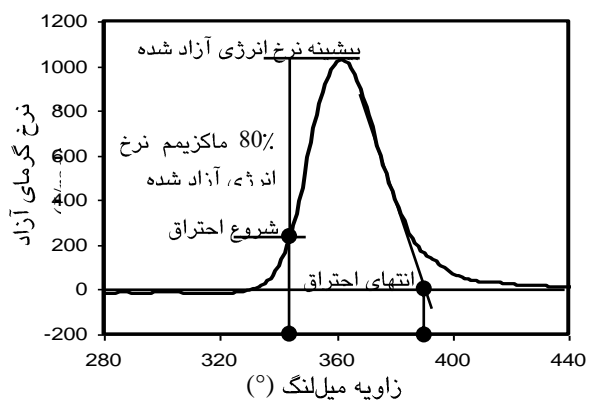
شکل (6): تغییرات سیکلی فشار موثر متوسط بر حسب فشار بیشینه برای 160 سیکل متوالی

از جدول (3) همچنین نتیجه می‌شود که بیشینه میانگین فشار موثر متوسط نشانگری ($9/8 \text{ bar}$) در نسبت همارزی بالاتر از نسبت همارزی استوکیومتری ظاهر می‌شود ($\phi = 1/1$). این

60 درجه قبل از نقطه مرگ بالا و دور میلنگ بین 1000 تا 4000 دور (در دقیقه) رفتار مشابه با نتایج گرفته شده بدست می‌آید.

3-3- تغییرات سیکلی فشار موثر متوسط نشانگری

در ابتدا اشاره می‌شود که یک رابطه‌ی مستقیم بین فشار موثر متوسط با گشتاور موتور وجود دارد [8]. بر این اساس، تغییرات سیکلی فشار موثر متوسط به طور مستقیم بر عملکرد موتور تاثیر گذار خواهد بود. شکل (6) فشار موثر متوسط نشانگری هر سیکل را نسبت به فشار بیشینه آن سیکل برای 160 سیکل متوالی نشان می‌دهد. از شکل دیده می‌شود که می‌توان یک رابطه‌ی خطی با $R^2 = 0/79$ بین این دو پارامتر برقرار نمود. به عبارت دیگر، با افزایش فشار بیشینه در سیکل فشار موثر متوسط نشانگری آن سیکل نیز افزایش می‌یابد. بنابراین با توجه به اینکه فشار موثر متوسط نشانگری به طور مستقیم به عملکرد موتور مربوط می‌باشد، برای داشتن عملکرد ثابت در موتور بایستی تغییرات سیکلی فشار بیشینه را کاهش داد. با تغییر شرایط کاری موتور (زمان جرقه بین 25 تا 60 درجه قبل از نقطه مرگ بالا، نسبت همارزی بین 0/7 تا 1/3 و دور میلنگ بین 1000 تا 4000 دور در دقیقه) در این تحقیق، همواره دیده شد که می‌توان یک رابطه‌ی خطی با $R^2 > 0/69$ بین فشار موثر متوسط نشانگری با فشار بیشینه آن سیکل رسم نمود.



شکل (4): نزخ گرمای آزاد شده از داخل سیلندر بر حسب زاویه میلنگ

3-3-1- تغییرات سیکلی فشار موثر متوسط نشانگری در نسبت همارزی‌های مختلف

جدول (3) میانگین و ضریب تغییر فشار موثر متوسط نشانگری را در نسبت همارزی‌های مختلف برای 40 سیکل متوالی نشان می‌دهد. از جدول نتیجه می‌شود که با افزایش نسبت همارزی تا $\phi = 1/1$ مقدار میانگین فشار موثر متوسط

3-3-2-تغییرات سیکلی فشار موثر متوسط نشانگری در زمان‌های مختلف جرقه

جدول (4) میانگین و ضریب تغییر فشار موثر متوسط نشانگری را با تغییر زمان جرقه برای 40 سیکل متواالی نشان می‌دهد. از جدول دیده می‌شود که با افزایش پیش انداختگی جرقه‌ای مقدار فشار موثر متوسط نشانگری افزایش می‌یابد در حالی که تغییرات سیکلی آن در حال کاهش می‌باشد. بعد از رسیدن پیش انداختگی جرقه به 45 درجه مقدار فشار موثر متوسط نشانگری کاهش یافته در حالی که تغییرات سیکلی آن در حال افزایش می‌باشد. در مرجع [6]، ضریب تغییر فشار موثر متوسط نشانگری بر حسب زمان‌های مختلف جرقه یک رفتار مشابه با نتیجه بدست آمده را نشان می‌دهد. باید یادآور شد که در پیش انداختگی جرقه‌ای 45 درجه، موتور دارای حداقل گشتاور ترمی می‌باشد. مسئله‌ی کاهش فشار موثر متوسط را به این صورت می‌توان بیان کرد که اگر جرقه خیلی زود در سیکل اتفاق افتد، کار انتقال یافته از پیستون به گازهای داخل سیلندر در انتهای سیکل تراکم بسیار افزایش می‌یابد و این امر موجب کاهش فشار موثر متوسط نشانگری می‌شود و اگر جرقه با تاخیر ظاهر شود، فشار بیشینه در داخل سیلندر کاهش می‌یابد و این امر موجب می‌شود که کار انجام شده از گاز داخل سیلندر بر روی پیستون در کورس انبساط کاهش یابد. چون در این مرحله حجم داخل سیلندر افزایش یافته و باعث کاهش درجه حرارت و فشار داخل سیلندر می‌شود. درجه حرارت و فشار پایین نیز موجب بلوک شدن بعضی از فرایندهای واکنش شیمیایی احتراق می‌گردد. این امر نیز باعث کاهش سرعت انتشار شعله خواهد شد. بر این اساس، فشار موثر متوسط نشانگری کاهش می‌یابد. مسئله‌ی مربوط به افزایش ضریب تغییر فشار موثر متوسط را می‌توان به این صورت بیان کرد که در جرقه‌ی پیش از موعد، فشار و درجه حرارت در داخل سیلندر پایین خواهد بود و این امر موجب کاهش سرعت توسعه شعله موتور می‌شود. سرعت پایین شعله در ابتدای جرقه نیز موجب افزایش تغییرات سیکلی خواهد شد. در حالی که در زمان تاخیر جرقه، بیشتر انرژی سوخت در زمان کورس انبساط آزاد می‌شود که بر این اساس فشار و درجه حرارت پایینی تولید خواهد نمود. این امر باعث افزایش زمان احتراق و در نتیجه افزایش تغییرات سیکلی می‌گردد. در هر صورت تاخیر جرقه اثر نامناسبی بر روی تغییرات سیکلی نسبت به آوانس جرقه دارد. در حالت کلی می‌توان نتیجه‌گیری کرد که زمان جرقه هم بر روی مقدار فشار موثر متوسط و هم بر روی تغییرات سیکلی آن تاثیر دارد. بر این اساس، با ثابت

امر به این علت است که رطوبت هوا در درجه حرارت بالای احتراق تجزیه شده و اکسیژن آزاد می‌کند و این اکسیژن نسبت همارزی موجود در داخل سیلندر را به طور نسبی کاهش می‌دهد. از جدول همچنین دیده می‌شود که با افزایش نسبت همارزی تا $1/1 = \phi$ ضریب تغییر فشار موثر متوسط نشانگری به مقدار $1/2\%$ کاهش می‌یابد. با افزایش دوباره نسبت همارزی، ضریب تغییر فشار موثر متوسط نشانگری افزایش می‌یابد. همچنین می‌توان نتیجه‌گیری کرد که تغییرات سیکلی فشار موثر متوسط نشانگری برای مخلوط پر بار بسیار بالاتر از مخلوط کم بار می‌باشد. به طوری که برای نسبت همارزی $1/3 = \phi$ ضریب تغییرات به $11/8\%$ می‌رسد. این مسئله را به طولانی بودن مدت احتراق در نسبت همارزی بالا می‌توان مرتبه دانست. بر این اساس، می‌توان نتیجه‌گیری کرد که کوتاه بودن زمان مدت احتراق باعث کاهش تغییرات سیکلی می‌شود. بنابراین استفاده از مخلوط هیدروژن با گاز طبیعی به علت سرعت بالای شعله‌ی احتراق هیدروژن، برای کاهش تغییرات سیکلی موتور مناسب می‌باشد [12]. یادآوری می‌شود که سرعت شعله‌ی احتراق برای هیدروژن 79% بیشتر از شعله‌ی احتراق گاز طبیعی است [5]. برای توضیح بیشتر اشاره می‌شود که کاهش زمان احتراق تا حد صفر (به عبارت دیگر احتراق به صورت ایده‌آل در حجم ثابت اتفاق افتد)، موجب می‌شود که تغییرات سیکلی احتراق که مقدار آن بسیار قابل توجه است به مقدار صفر کاهش یابد. در آخر اشاره می‌شود که موتور نبایستی در نسبت همارزی $1/3 = \phi$ کار کند. بدلیل اینکه، حد مجاز ضریب تغییرات فشار موثر متوسط برای کارکرد طبیعی موتور اشتعال جرقه‌ای 10% گزارش شده است [8] در حالی که در این نسبت همارزی برابر $11/8\%$ می‌باشد. در پایان اشاره می‌گردد که با تغییر شرایط کاری (نسبت همارزی بین $0/3$ تا $1/3$ و دور میلنگ بین 1000 تا 4000 دور در دقیقه) رفتار مشابه با نتایج گرفته شده بدست می‌آید.

جدول (3): میانگین و ضریب تغییر فشار موثر متوسط نشانگری (زمان جرقه 45 درجه قبل از نقطه مرگ بالا و دور میلنگ 3300 دور در دقیقه)

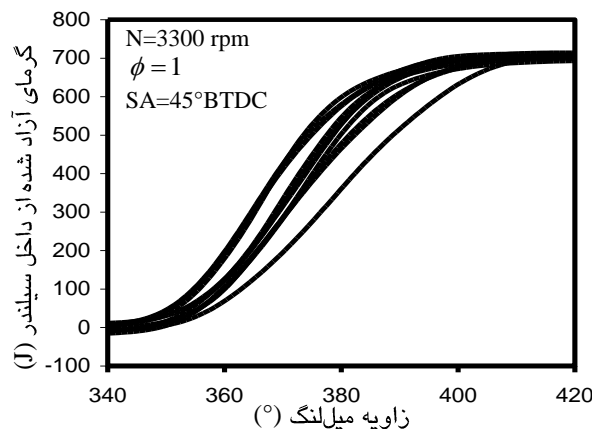
نسبت همارزی	1/3	1/1	1	0/7
میانگین فشار موثر متوسط نشانگری (bar)	8/5	9/8	9/6	7/4
ضریب تغییر فشار موثر متوسط نشانگری (%)	11/8	1/2	1/7	4/1

بین ماکزیم انرژی آزاد شده از سوخت با تاخیر اشتعال دیده نشد.

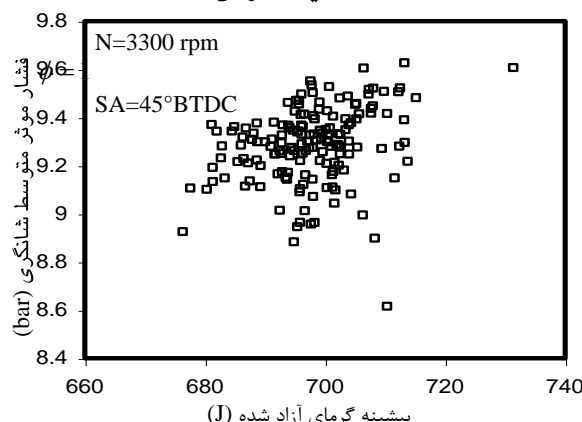
4- نتیجه‌گیری

تغییرات سیکلی احتراق در موتور اشتعال جرقه‌ای توسط اندازه‌گیری فشار داخل سیلندر برای سوخت گاز طبیعی مورد بررسی قرار گرفت. در جمع بندی کلی از نتایج بدست آمده می‌توان به مواردی اشاره نمود که عبارتند از:

- منحنی ضریب تغییر فشار سیلندر بر حسب زاویه میلنك مستقل از شرایط آزمایش می‌باشد. بر روی این منحنی، موقعیت سه نقطه قابل توجه است. این سه نقطه برابر با شروع احتراق، انتهای احتراق و ۵۰٪ کسر جرم سوختی است که می‌تواند جایگزین روش‌های قبلی که در آنها از میانگین فشار سیلندر سیکلهای متوالی برای استفاده شروع احتراق، انتهای احتراق و ۵۰٪ کسر جرمی سوخت استفاده می‌شود گردد.



شکل (7): تغییرات گرمای آزاد شده بر حسب زاویه میلنك برای 10 سیکل متوالی



شکل (8): فشار موثر متوسط نشانگری بر حسب بیشینه گرمای آزاد شده

2- اثر شرایط کاری موتور بر روی تغییرات سیکلی

کردن زمان جرقه از یک سیکل به سیکل دیگر می‌توان تغییرات عملکرد موتور را کنترل نمود. با تغییر شرایط کاری (زمان جرقه بین 25 تا 60 درجه قبل از نقطه مرگ بالا و دور میلنك بین 1000 تا 4000 دور در دقیقه) رفتار مشابه با نتایج گرفته شده بدست می‌آید.

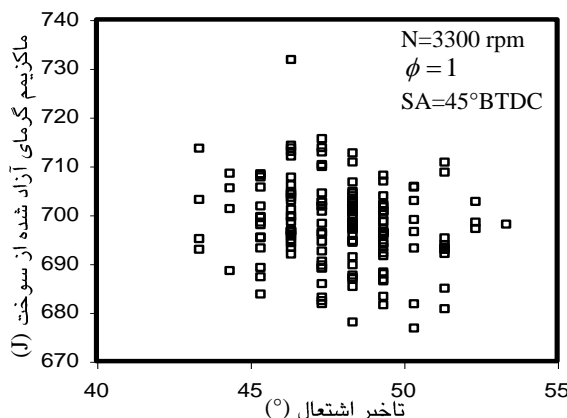
3- تغییرات سیکلی گرمای آزاد شده

تغییرات سیکلی منحنی فشار به شکل دیگری خود را در تغییرات سیکلی گرمای آزاد شده از داخل سیلندر ظاهر می‌سازد. شکل (7) به روشنی وجود تغییرات سیکلی را در منحنی گرمای آزاد شده از داخل سیلندر نشان می‌دهد. از شکل نتیجه می‌شود که علاوه بر تغییر در بیشینه انرژی آزاد شده، مدت احتراق نیز از یک سیکل به سیکل دیگر متفاوت می‌باشد. مدت احتراق گاهی در نسبت همارزی بالا بسیار طولانی می‌شود. این امر موجب اتلاف انرژی سوخت به بیرون از داخل سیلندر شده به طوریکه دیگر در تولید کار مفید بر سر پیستون شرکت نمی‌کند.

جدول (4): میانگین و ضریب تغییر فشار موثر متوسط نشانگری (زمانیت همارزی برابر مقدار یک و دور میلنك 3300 دور در دقیقه)

پیش اندختگی جرقه (BTDC)	میانگین فشار موثر متوسط نشانگری (bar)	ضریب تغییر فشار موثر متوسط نشانگری (%)
60°	9/2	2/6
45°	9/8	1/2
30°	8/7	3/4
25°	8	7/1

شکل (8) نشان می‌دهد که رابطه‌ی منطقی بین ماکزیم انرژی آزاد شده از سوخت با فشار موثر متوسط نشانگری وجود ندارد. به عبارت دیگر، افزایش انرژی کسب شده از سوخت دلیل افزایش کار انجام شده توسط گاز داخل سیلندر بر روی پیستون نمی‌باشد. این امر اشاره می‌کند که انرژی آزاد شده از سوخت برای تولید کار مفید بر روی پیستون، باستثنی در موقعیت مناسب از سیکل آزاد شود. تاخیر اشتعال برابر فاصله‌ی بین زمان جرقه زدن شمع تا موقعیت ۵٪ کسر جرم سوخت سوخته شده در نظر گرفته می‌شود. شکل (9) نشان می‌دهد که هیچ رابطه‌ی منطقی بین ماکزیم انرژی آزاد شده از سوخت با تاخیر اشتعال وجود ندارد. با تغییر شرایط کاری مختلف موتور (زمان جرقه بین 25 تا 60 درجه قبل از نقطه مرگ بالا، نسبت همارزی بین 0/7 تا 1/3 و دور میلنك بین 1000 تا 4000 دور در دقیقه) هیچ رابطه‌ی منطقی بین ماکزیم انرژی آزاد شده از سوخت با فشار موثر متوسط نشانگری و



شکل (9): بیشینه کرمای آزاد شده از سوخت بر حسب تاخیر اشتعال

عبارة تست از:

- تغییرات سیکلی فشار بیشینه سیلندر و فشار موثر متوسط نشانگری در مخلوط پر بار بیشتر از مخلوط کم بار می باشد.

- تغییرات سیکلی فشار موثر متوسط نشانگری با افزایش نسبت همارزی و همچنین دور شدن زمان جرقه از نقطه مرگ بالا ابتدا کاهش و بعد افزایش می یابد.

- تغییرات سیکلی زمانیکه نسبت همارزی و زمان جرقه برای حداقل گشتاور تنظیم شده باشد دارای حداقل مقدار خود می باشد.

شرایط کاری موتور بایستی طوری تنظیم شوند که موتور دارای حداقل تغییرات سیکلی باشد.

3- انرژی آزاد شده از سوخت برای تولید کار مفید بر روی

5- مراجع

Lu, X. C.; Chen, W.; Huang, Z.; "A fundamental study on the control of the HCCI combustion and emissions by fuel design concept combined with controllable EGR. Part 1. The basic characteristics of HCCI combustion", Fuel, Vol. 84, p.p. 1074-1083, 2005.

[11]

Ma, F.; Wang, Y.; Liu, H.; Li, Y.; Wang, J.; Ding, S.; "Effects of hydrogen addition on cycle-by-cycle variations in a lean burn natural gas spark-ignition engine", I. J. Hydrogen Energ, vol. 33, p.p. 823 – 831, 2008.

[12]

Marc, M.; "Contribution to the study of the behavior of a spark ignition engine fueled with Groningen natural gas", Ph.D. thesis, Université de Valenciennes et du Hainaut Cambrésis, 2006 (In French).

[13]

Ozdog, N.; Dulger, M.; Sher, E.; "Cyclic variability in spark ignition engines a literature survey", SAE paper 940987, 1994.

[14]

Patterson, D. J.; "Cylinder pressure variations, a fundamental combustion problem", SAE paper No. 660129, 1966.

[15]

Randolph, L. A.; "Methods of processing cylinder-pressure transducer signals to maximizing data accuracy", SAE paper, No. 900170, 1990.

[16]

Varaprasada, R.; Nehru, K. V. K.; Ganesan, V.; "Evaluation of S.I. engine combustion parameters: a new approach", Combust. Sci. Technol., Vol. 89, p.p. 47–55, 1993.

[17]

Yamasaki, Y.; Iida N.; "Numerical analysis of autoignition and combustion of n-butane and air mixture in homogeneous-charge compression-ignition engine using elementary reactions", JSME Int. J., Vol. 46, p.p. 52-59, 2003.

[18]

Zervas, E.; "Comparative study of some experimental methods to characterize the combustion process in a SI engine", Energy, vol. 30, p.p. 1803–1816, 2005.

[19]

Zhang, L.; Ueda, T.; Takatsuki, T.; Yokota, K.; "Cycle-to-cycle variation of cylinder flow in a motored engine", JSME Int. J. B., vol. 3, p.p. 426–431, 1995.

[20]

[1] ابراهیمی، رحیم؛ "پیش بینی تاخیر خود اشتعالی در موتور اشتعال تراکمی مخلوط همگن"، نشریه علمی و پژوهشی سوخت و احتراق، س. 1، ش. 1، ص 41 تا 51، 1387

[2] Aghdam, E.A.; Burluka, A.A.; Hattrell, T.; Liu, K.; Sheppard, C.G.W.; Neumeister, J.; Crundwell, N.; "Study of cyclic variation in an SI engine using quasi-dimensional combustion model", SAE paper 2007-01-0939, 2007.

[3] Al-Baghdadi, M.; "Effect of compression ratio, equivalence ratio and engine speed on the performance and emission characteristics of a spark ignition engine using hydrogen as a fuel", Renew. Energ., vol. 29, p.p. 2245–2260, 2004.

[4] Bell, S. R., Gupta, M.; "Extension of the lean operating limit for natural gas fuelling of a SI engine using hydrogen blending", Combust. Sci. Technol., Vol. 123, p.p. 23–48, 1996.

[5] Boretti, A. A.; Brear, M. J.; Watson, H. C.; "Experimental and numerical study of a hydrogen fuelled I.C. engine fitted with the hydrogen assisted jet ignition system", 16th Australasian Fluid Mechanics Conference, Crown Plaza, Gold Coast, Australia, 2-7 December, 2007.

[6] Dai, W.; Trigui, N.; Lu, Y.; "Modeling of cyclic variations in spark-Ignition engines", SAE paper 2000-01-2036, 2000.

[7] Ebrahimi, R.; "Experimental study on the auto ignition in HCCI engine", Ph.D. thesis, Université de Valenciennes et du Hainaut-Cambrésis, France, 2006 (In french).

[8] Heywood, J. B.; "Internal Combustion Engines Fundamentals", McGraw Hill Book Company, New York, 1989.

[9] Hinze, P. C.; "Cycle-to-cycle combustion variations in a spark-ignition engine operating at Idle", Ph.D. Thesis, Massachusetts Institute of Technology, 1997.

[10] Litak, G.; Kaminski, T.; Czarnigowski, J.; Sen A. K.; Wendeker M.; "Combustion process in a spark ignition engine: analysis of cyclic peak pressure and peak pressure angle oscillations", Meccanica, 2008.

¹ Spark Advanced

² Turbulence

³ Coefficient of Variation

⁴ Indicated

⁵ Kistler

